

Scintigrafické zobrazovací metody u plicní hypertenze

Lang O, Kuníková I.

KNM 3. LF UK a FNKV Praha 10

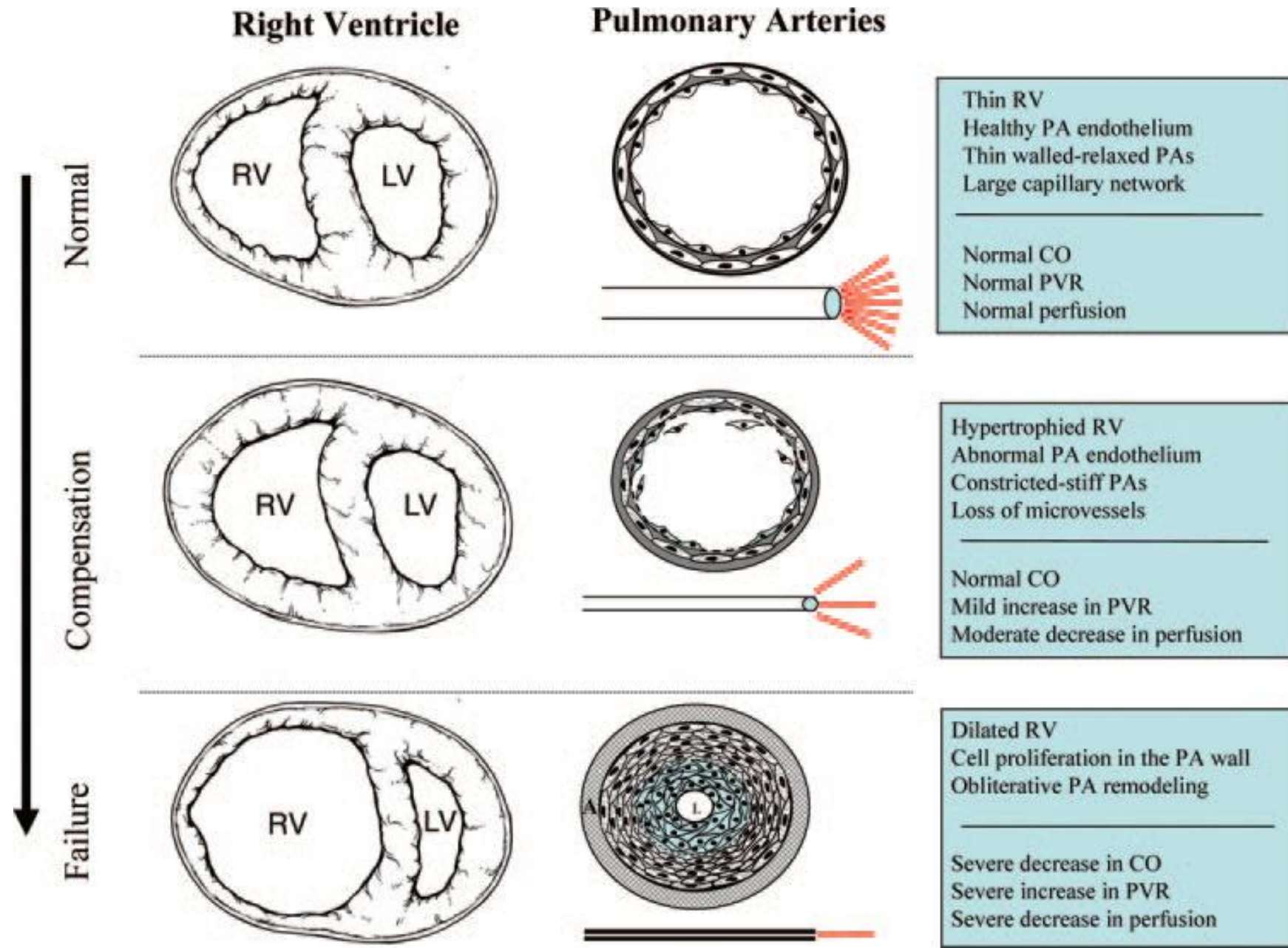
ONM ON Příbram, a.s.

Plicní hypertenze

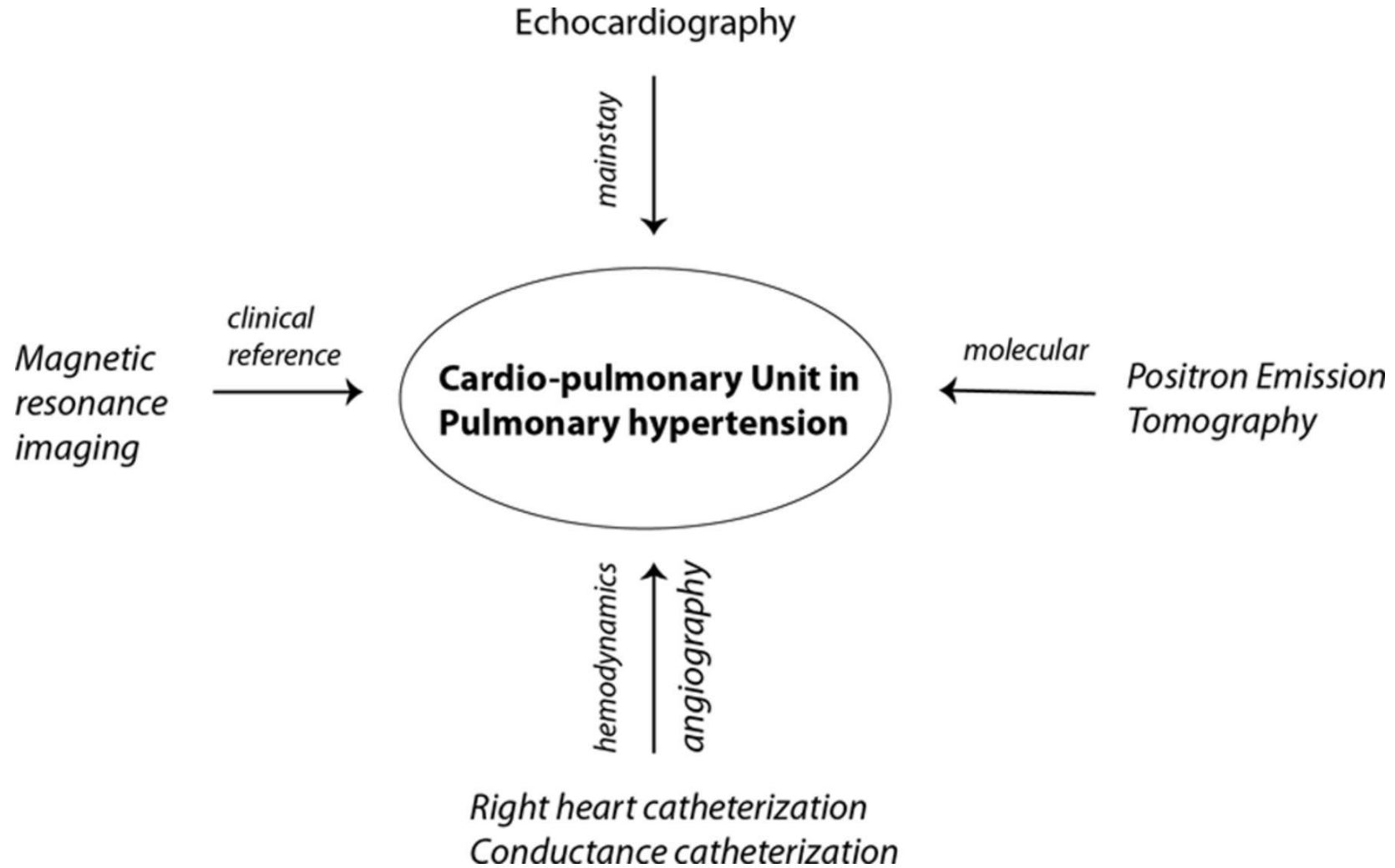
- Střední tlak v plicnici (PAPm) změřený při katetrizaci ≥ 25 mmHg
 - Postkapilární
 - Prekapilární
 - Kombinovaná
- Týká se levého srdce, plicní cirkulace i pravého srdce
- Má řadu příčin
 - Multimodalitní diagnostika
- Scintigrafické metody
 - Diagnostika funkčního systému srdce-plíce
 - Příčina, průběh

Plicní hypertenze

- Vzájemná interakce mezi pravou komorou srdeční a plicním cévním systémem
- Výše tlaku v plicnici příliš nekoreluje s klinickou symptomatologií ani s prognózou
- Morfologické a funkční parametry pravého srdce výrazně určují prognózu
 - Velikost a objem pravé komory, srdeční výdej a tlak v pravé předsíni
- Je nezbytné vyšetřovat pravou komoru srdeční a plicní cévní systém jako jednotku
 - Řada vyšetřovacích metod



Overview of multimodality assessment of the cardiopulmonary unit.



Anton Vonk Noordegraaf et al. *Circulation*. 2015;131:899-913

Scintigrafie

- Ideální metoda pro molekulární i nemolekulární zobrazování
 - Vhodná pro výzkum i rutinní klinické využití
- Sleduje distribuci cílových iontů, molekul, peptidů, bílkovin, částic nebo buněk označených vhodným radionuklidem
 - Nepoužívá žádné kontrastní látky
- Využívá stopová množství indikátorů
 - Vysoká senzitivita
 - Žádný vliv na přirozené fyziologické procesy
- Umožňuje kvantifikaci procesů na živém organismu
- Radiační zátěž je přiměřená

Scintigrafické metody

- Levá i pravá komora srdeční
 - Prokrvení myokardu v klidu i při zátěži
 - Mechanická funkce
 - Metabolismus myokardu
 - Spotřeba kyslíku v myokardu
 - Novotvorba kapilár (angiogenese)
 - Neurohumorální systém
 - Apoptóza
- Plicní parenchym
 - Distribuce plicní perfuze i ventilace
 - Na úrovni kapilár a alveolů (terminálních bronchiolů)
 - Intersticiální procesy (fibróza)

Scintigrafické metody Prokrvení myokardu

Perfuze svalových buněk

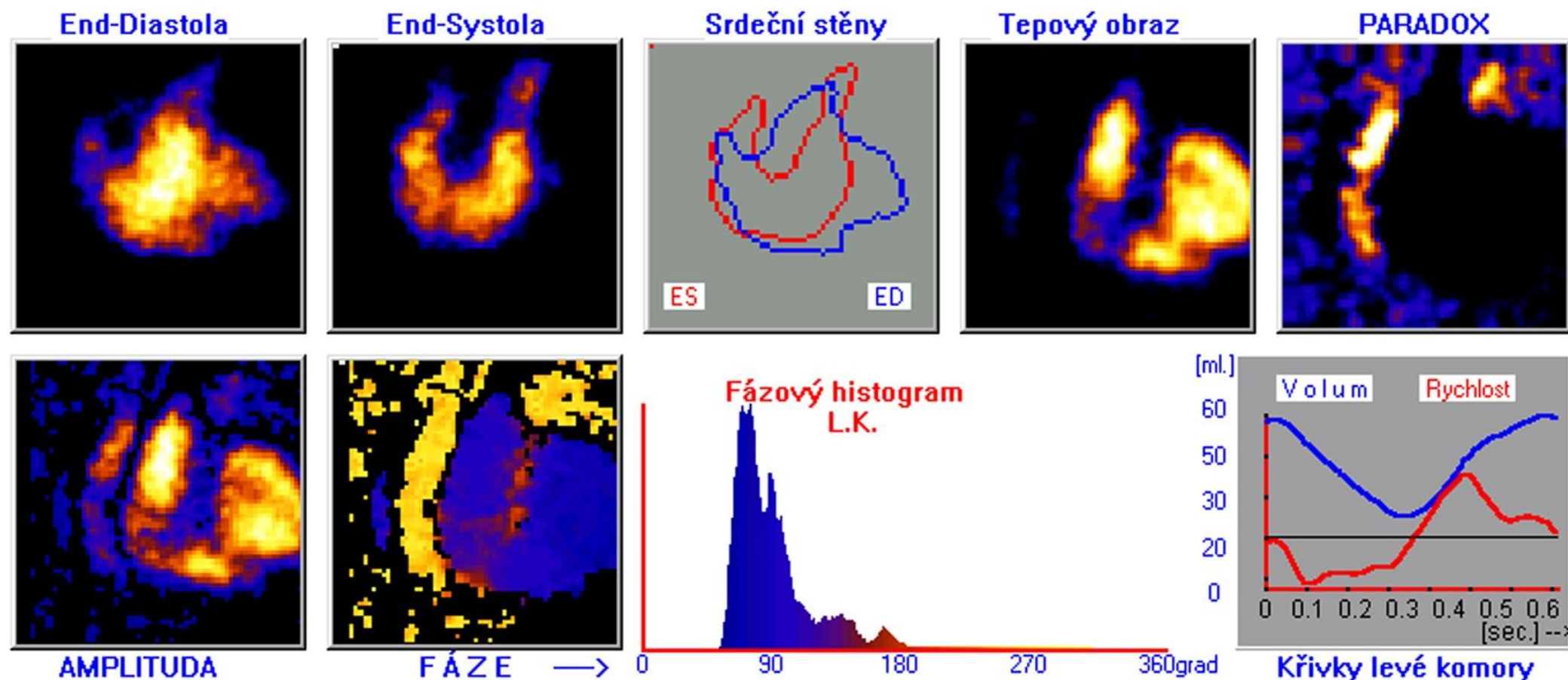
- Indikátory buněčného prokrvení
 - Akumulace úměrná velikosti krevního průtoku
- Rutinně pouze levá komora
 - Hlavně SPECT
 - ^{201}Tl , $^{99\text{m}}\text{Tc}$ MIBI, Myoview
- Dif dg jednostranného srdečního selhání
- Experimentálně i pravá komora
 - Amoniak $^{13}\text{N-NH}_3$, ^{11}C acetát, $^{15}\text{O-CO}$
 - Měření spotřeby kyslíku

Scintigrafické metody

Mechanická funkce srdce

Měření EF, EDV, ESV, SV

- Součást perfuzní scintigrafie
 - Méně přesná
 - Horší časové rozlišení
 - Neumožňuje měření rychlostí plnění a vyprazdňování
- Radionuklidová ventrikulografie
 - Měří změnu objemu komor v průběhu srdečního cyklu
 - Značené erytrocyty nebo albumin (blood pool)
 - Rovnovážná (MUGA)
 - Planární, SPECT
 - Prvoprůtoková
 - Hlavně na hodnocení pravé komory
 - U pacientů jinak nevyšetřitelných (obsoletní)



Ejekční Frakce

Max. ejekční rychlost
 Max. plnicí rychlost
 E.D. volum
 Reziduální objem
 Tepový objem
 Minutový volum srdeční
 Tepová frekvence

Levá komora

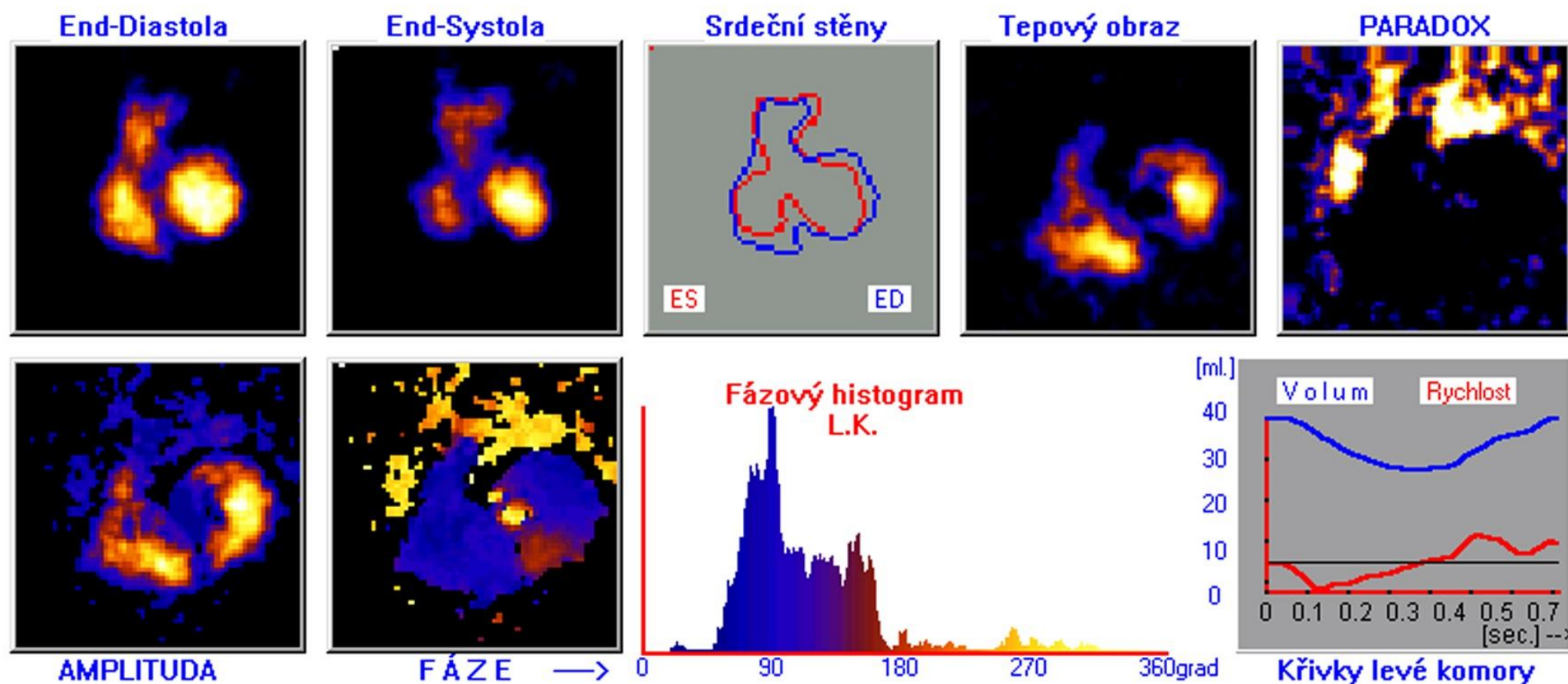
57.0 %

2.8 EDV/s.
 3.7 EDV/s.
 63 ml. (34 ml./m²)
 27 ml. (14 ml./m²)
 36 ml. (19 ml./m²)
 3.4 l./min. (1.8 l./min./m²)
 94 pulsu/min.

Pravá komora

63.7 %

3.8 EDV/s.
 1.9 EDV/s.
 47.8 ml.
 17.4 ml.
 30.5 ml.
 --(bez korekce na event. regurgitaci)



Ejekční Frakce

Max. ejekční rychlost

Max. plnicí rychlost

E.D. volum

Reziduální objem

Tepový objem

Minutový volum srdeční

Tepová frekvence

Levá komora

30.0 %

1.6 EDV/s.

1.5 EDV/s.

37 ml. (20 ml./m²)

26 ml. (14 ml./m²)

11 ml. (6 ml./m²)

1.0 l./min. (0.5 l./min./m²)

86 pulsu/min.

Pravá komora

44.1 %

2.3 EDV/s.

1.8 EDV/s.

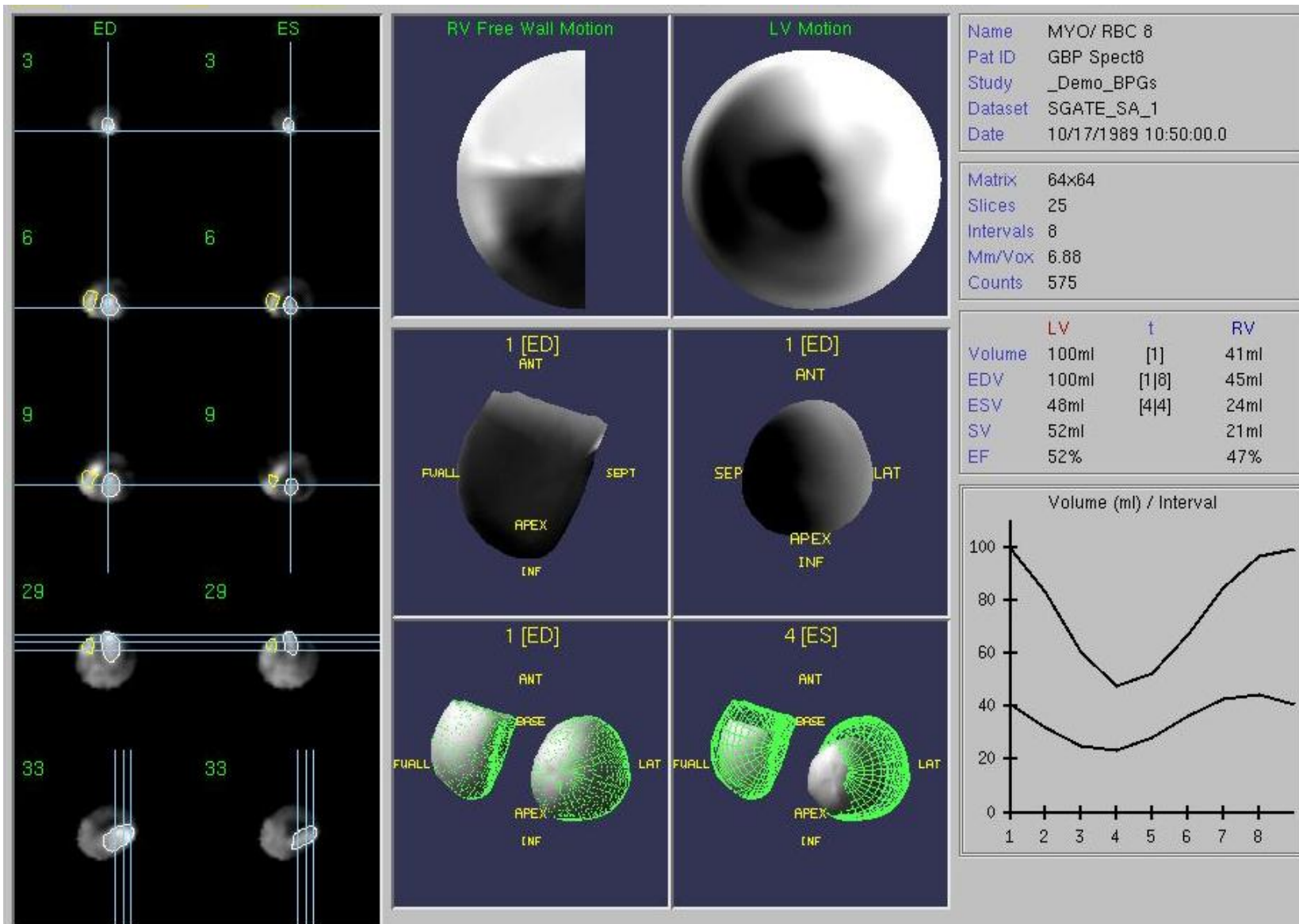
19.0 ml.

10.6 ml.

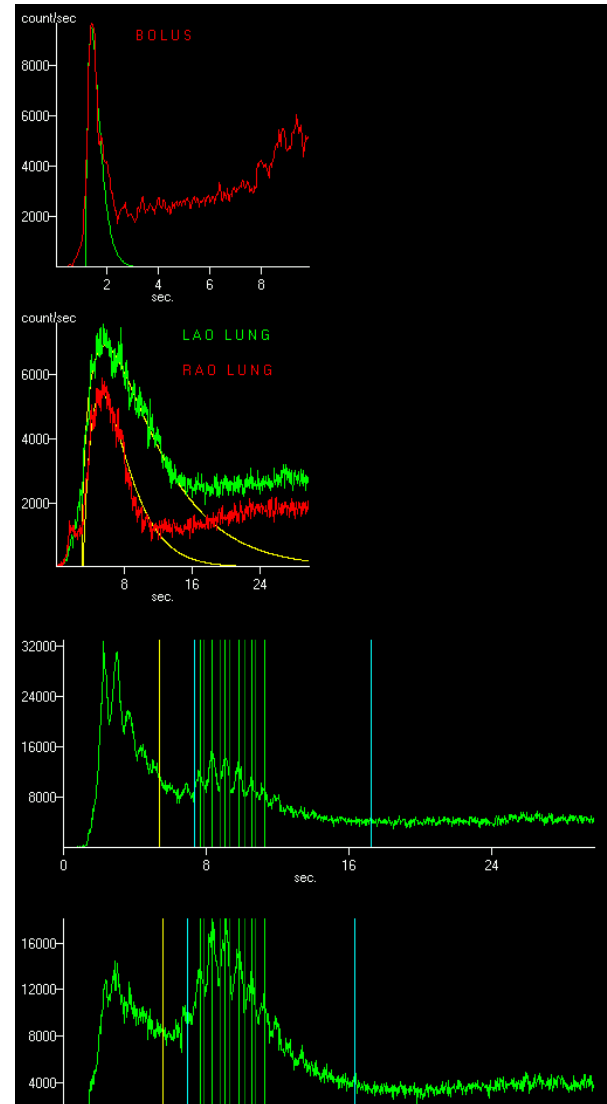
8.4 ml.

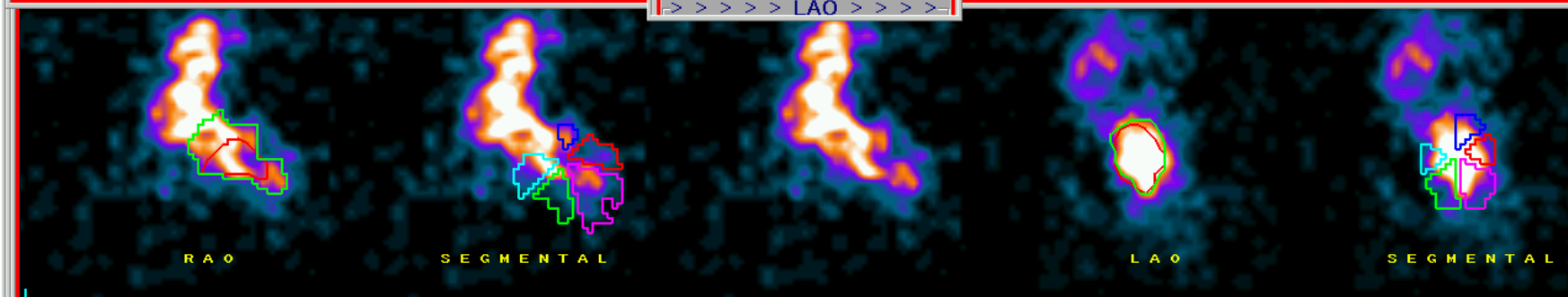
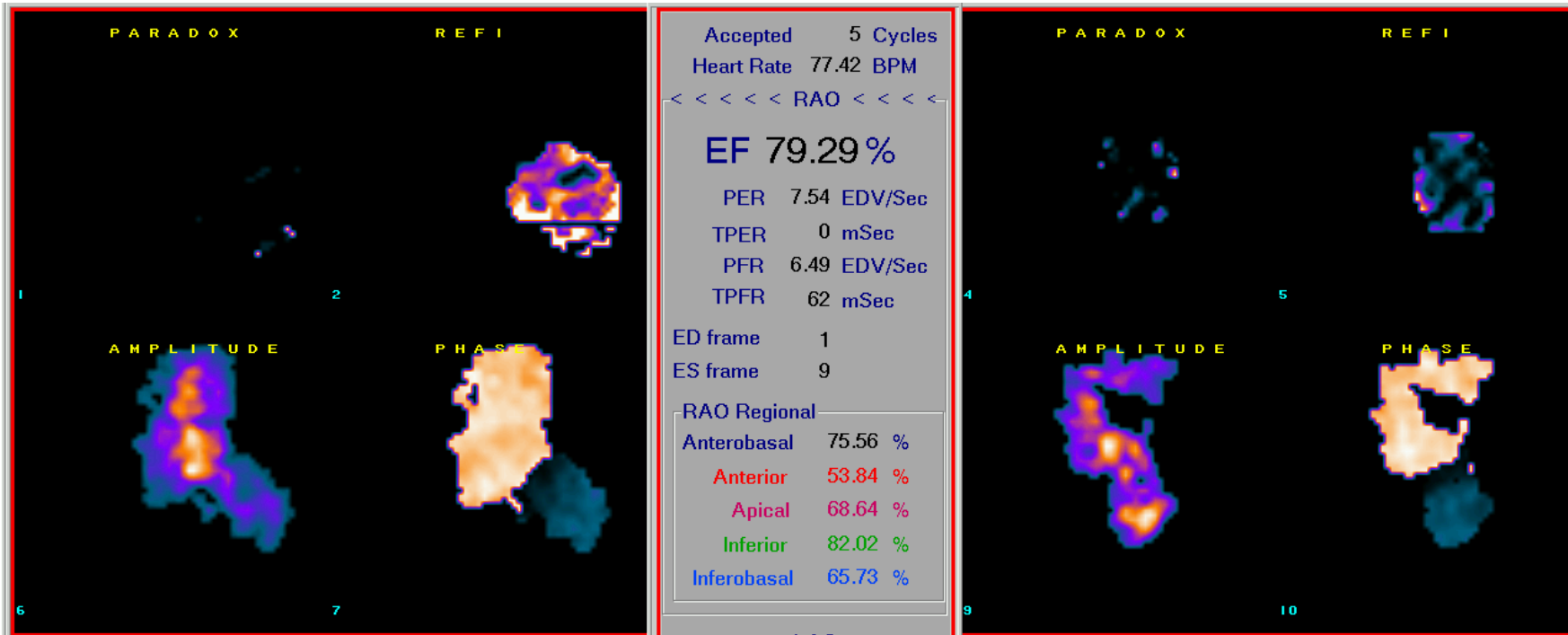
--(bez korekce na event. regurgitaci)

Kvantitativní GBP SPECT



Prvoprůtoková RNV



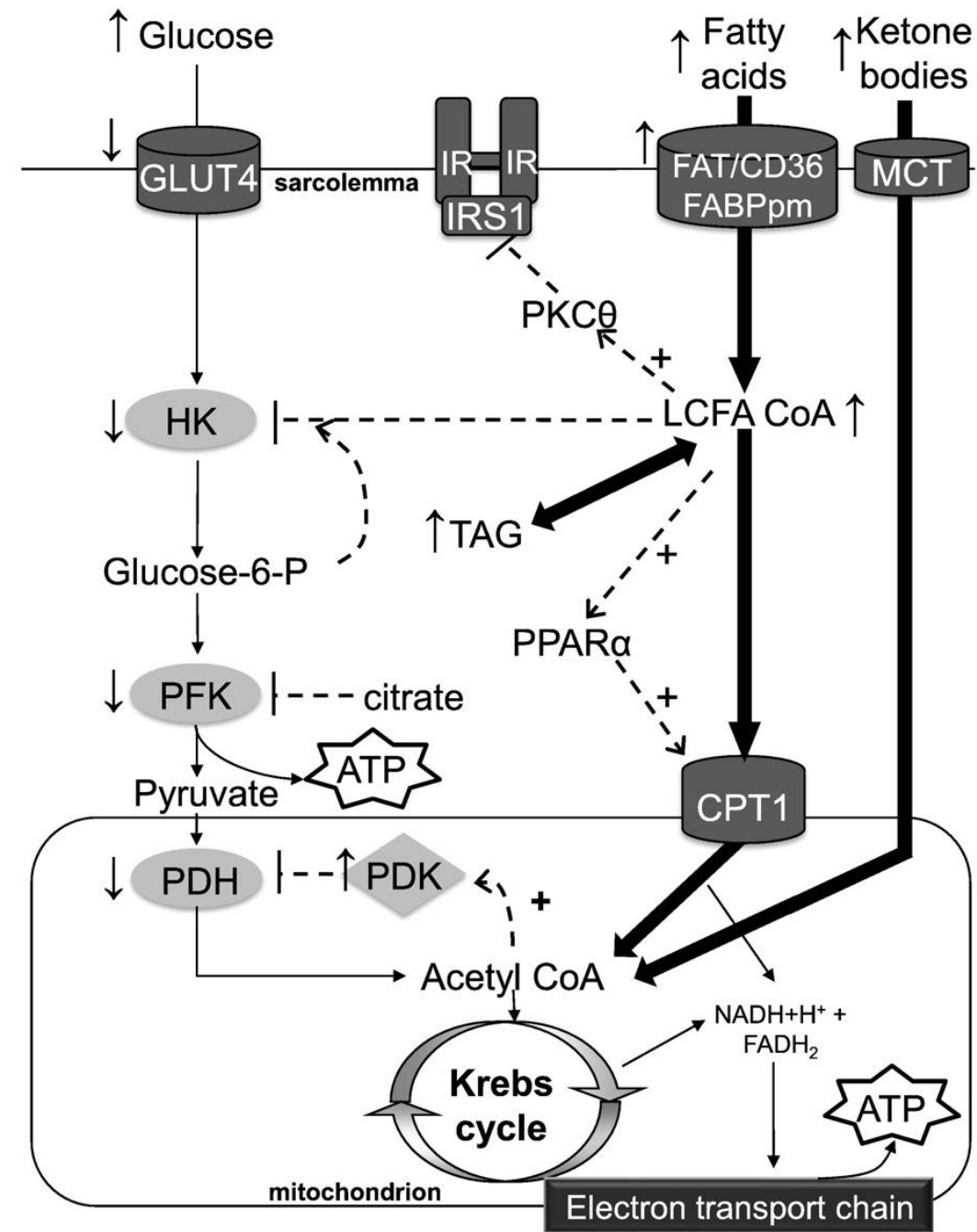
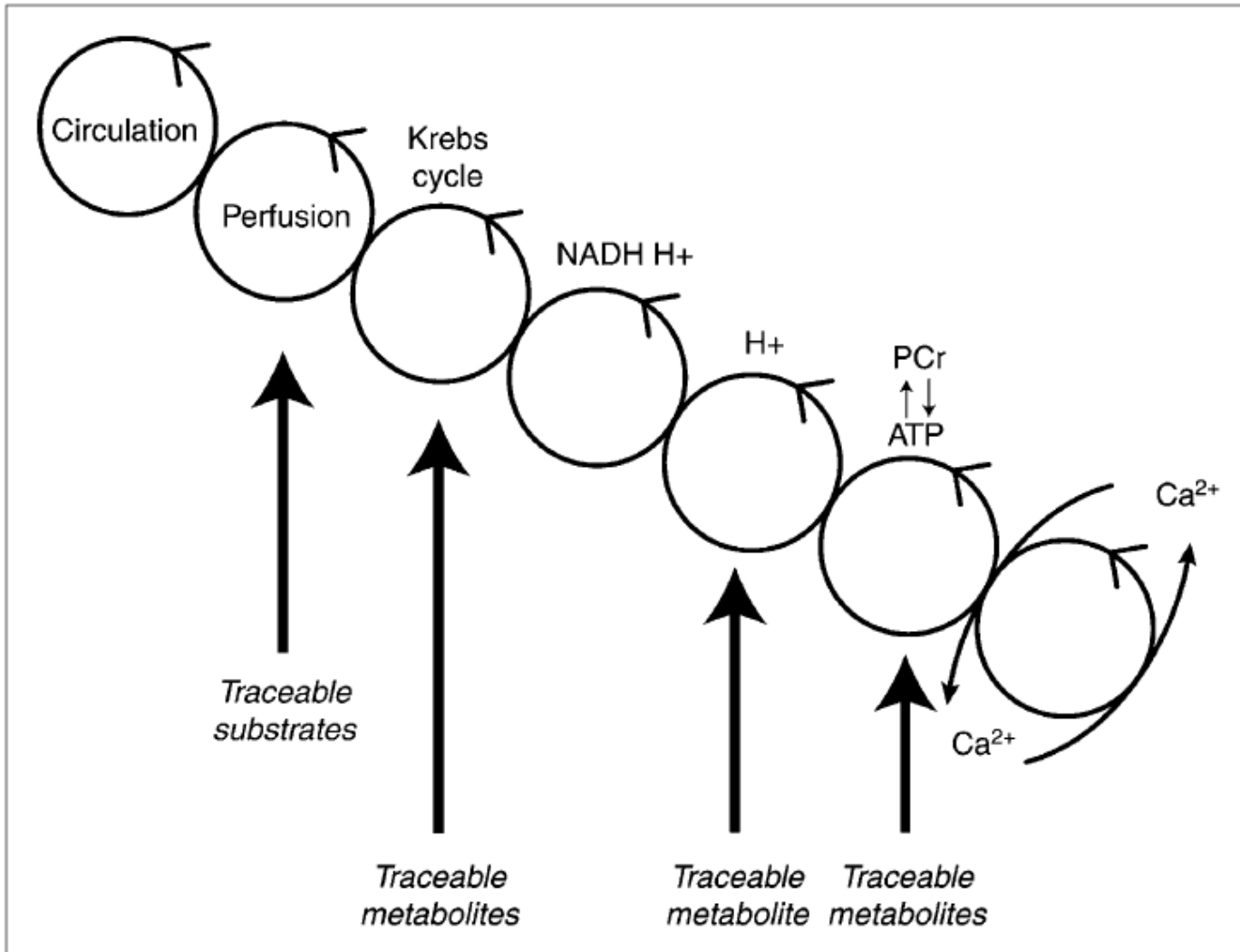


Scintigrafické metody

Metabolické změny myokardu

Přenos energie

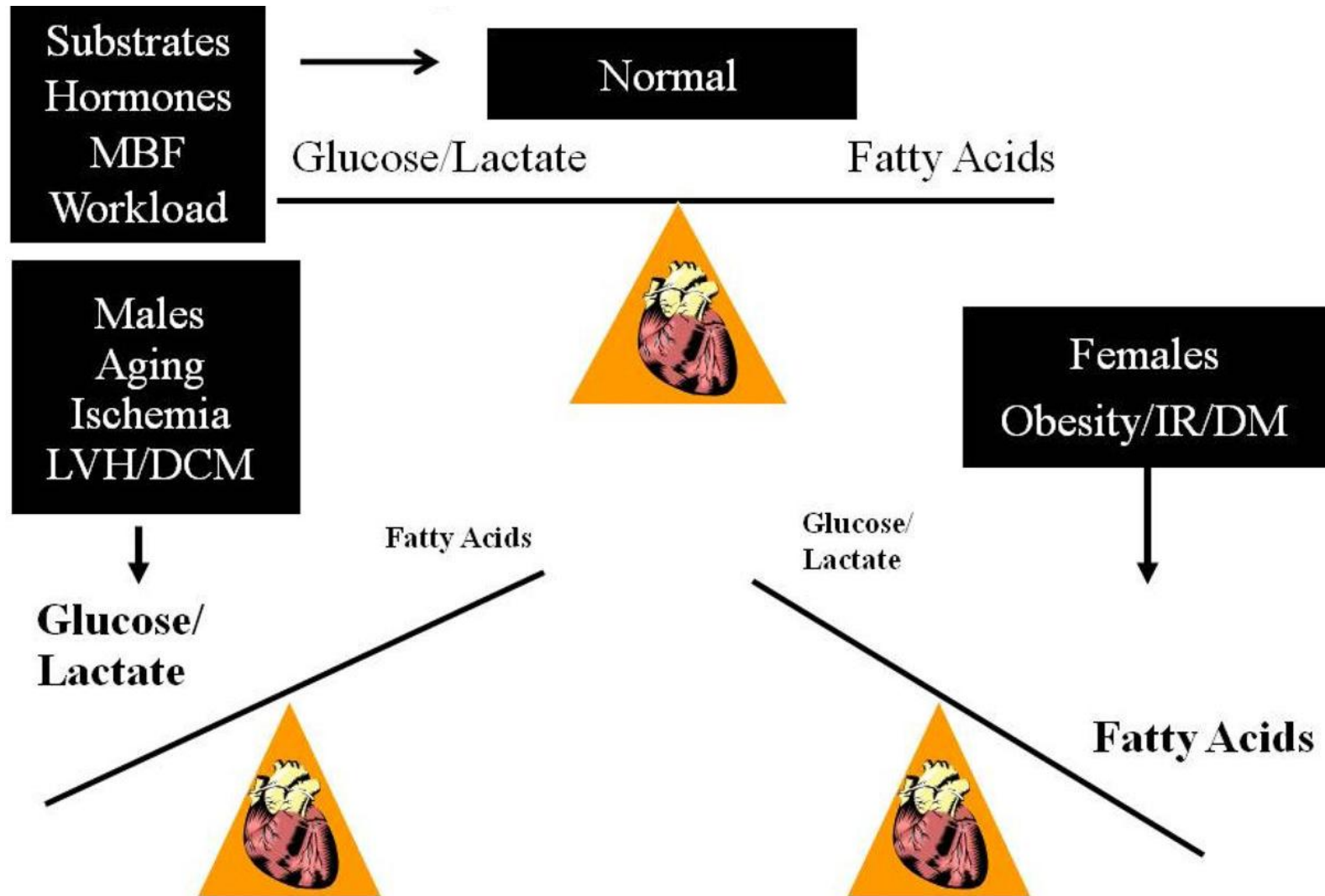
z cirkulace až po kontrakci prostřednictvím metabolických cyklů



Metabolická plasticita

- Schopnost myocytů využívat různé substráty
 - Základem je glukóza a mastné kyseliny
- Nezbytná pro rovnováhu mezi produkcí energie a požadavky na myokard při různých fyziologických a patologických stavech
- Akutní změny
 - Změna využití stávajících cyklů
- Chronické změny – metabolická remodelace
 - Modifikace cyklů (změna genové exprese - enzymatické změny)

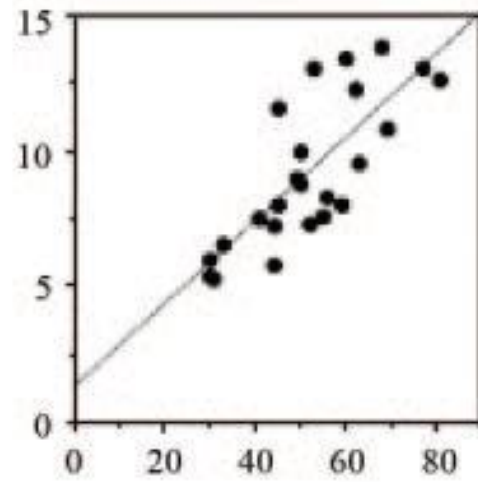
Schéma metabolické substrátové plasticity



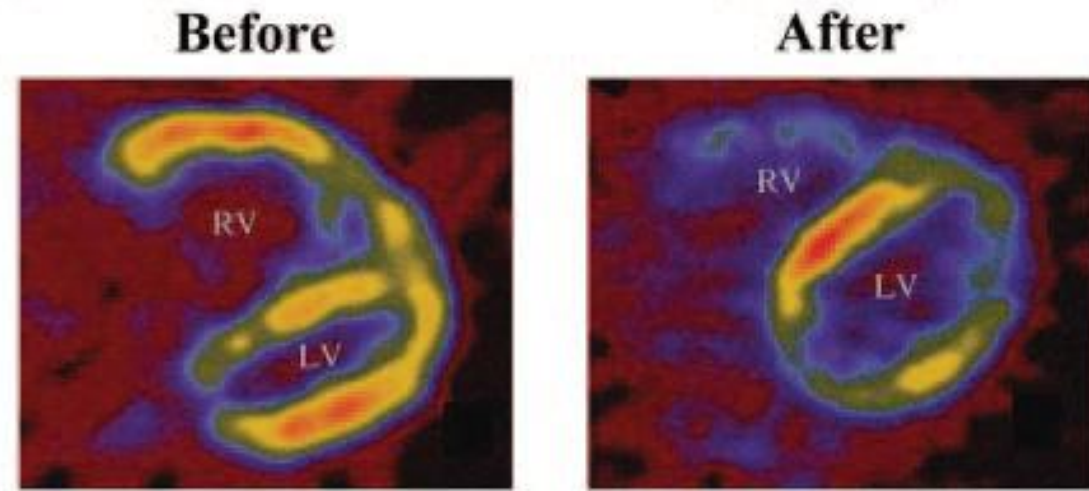
Pravá komora a plicní tepny

- Pokles transportu mastných kyselin při tlakovém přetížení
 - Spojeno s poklesem mechanické funkce a špatnou prognózou
- Zvýšená spotřeba glukózy
 - Produkce ATP glykolýzou v cytoplazmě, nikoli oxidací glukózy v mitochondriích
 - Typické pro zvýšenou proliferaci a potlačenou apoptózu – hypertrofie svalových i endoteliálních buněk – remodelace
- PAH
 - Zvýšený poměr akumulace glukózy měřené pomocí ^{18}F -FDG mezi pravou a levou komorou ve prospěch pravé komory
 - Zvýšená akumulace ^{18}F -FDG v plicích
 - Není jasné
 - Zda jde o trvalý nebo přechodný stav
 - Zda je to projev adaptace nebo patologické remodelace

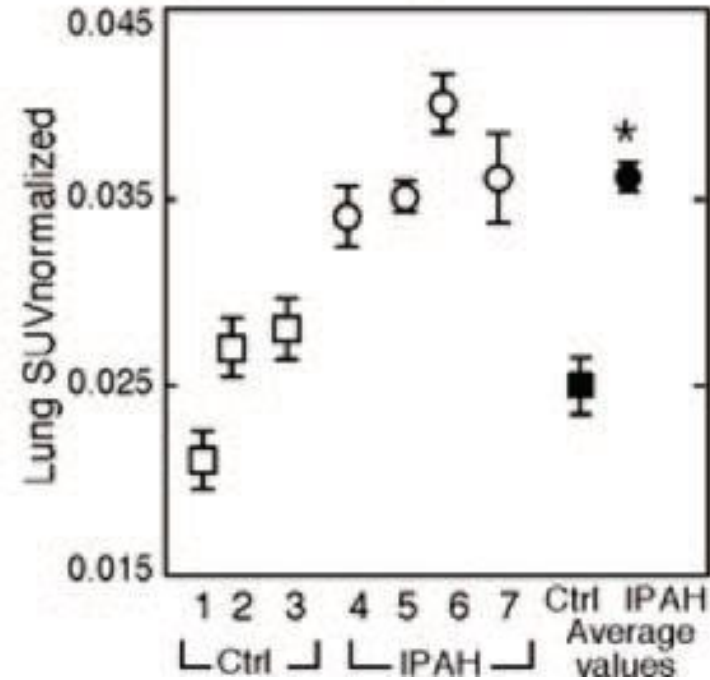
Increased RV glucose uptake in iPAH



Therapy with Flolan decreases RV glucose uptake



Increased lung glucose uptake in iPAH patients



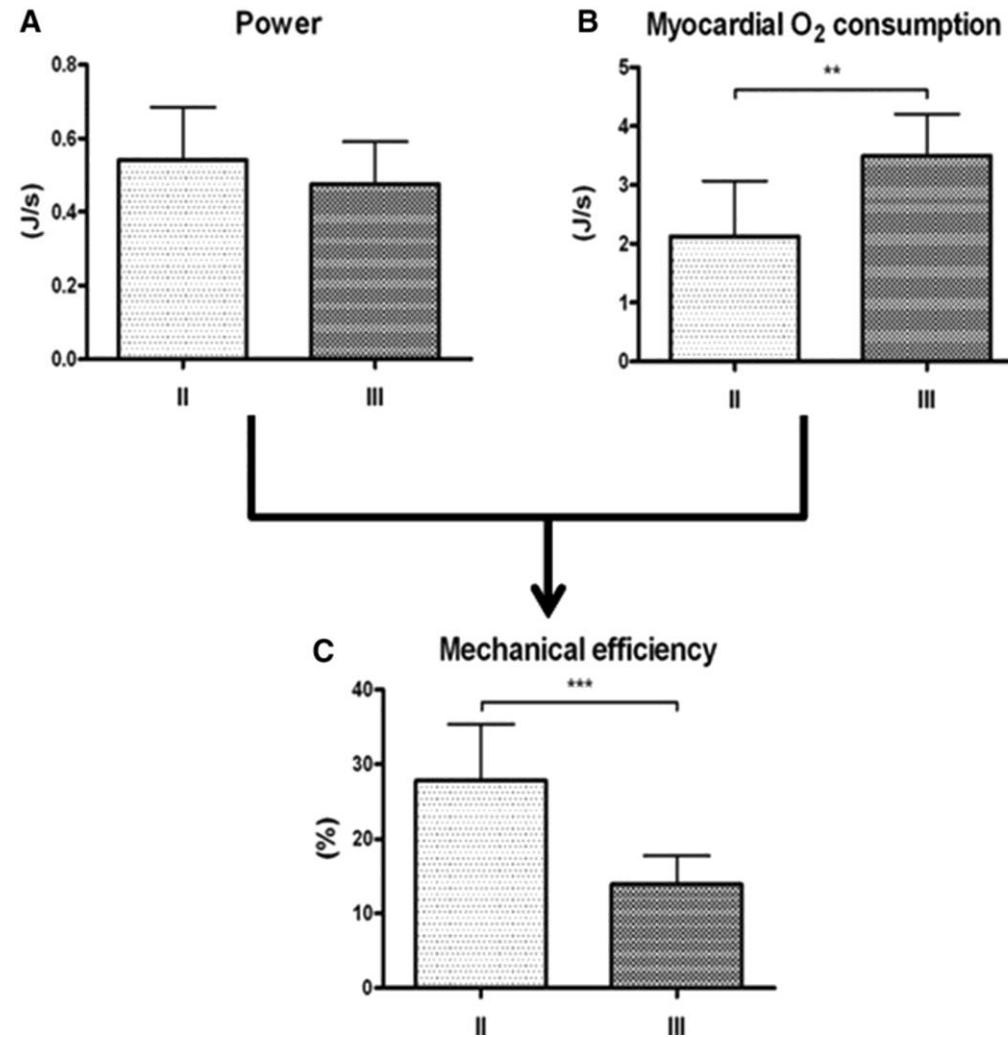
Scintigrafické metody

Změny spotřeby kyslíku v myokardu

Spotřeba kyslíku a krevní průtok

- Možnost měření pomocí vhodných indikátorů
 - Experimentálně nejčastěji ($^{15}\text{O}-\text{H}_2\text{O}$, $^{15}\text{O}-\text{CO}$, $^{15}\text{O}-\text{O}_2$)
 - V praxi nejčastěji amoniak $^{13}\text{N}-\text{NH}_3$ nebo ^{11}C acetát
- Současné měření umožňuje zjistit spotřebu kyslíku myokardem
- U PAH je spotřeba kyslíku pravé komory srdeční významně zvýšená proti kontrolám
 - Více u NYHA II než u NYHA III
 - Přitom síla kontrakce je podobná
 - Tedy efektivita práce je snížena

Impaired right ventricular (RV) mechanical efficiency in patients with pulmonary arterial hypertension is determined primarily by increased myocardial oxygen consumption (MVo₂).



Anton Vonk Noordegraaf et al. *Circulation*. 2015;131:899-913

Scintigrafické metody
Novotvorba kapilár (angiogenese)

Poměr angiogenese vůči hypertrofii

- Fyziologicky je angiogenese úměrná hypertrofii svaloviny
 - Je řízená VEGF a integriny
- U zvířecích modelů plicní hypertenze je však angiogenese relativně snižena
- Scintigrafie umožňuje přímé měření těchto regulátorů
 - VEGF značený ^{64}Cu
 - Peptid s afinitou k $\alpha_v\beta_3$ integrinu značený ^{18}F (arginin-glycin-aspartát)
- Použití u pacientů s PH je na samém začátku
 - Používá se u pacientů po infarktu myokardu

Scintigrafické metody Neurohumorální systém

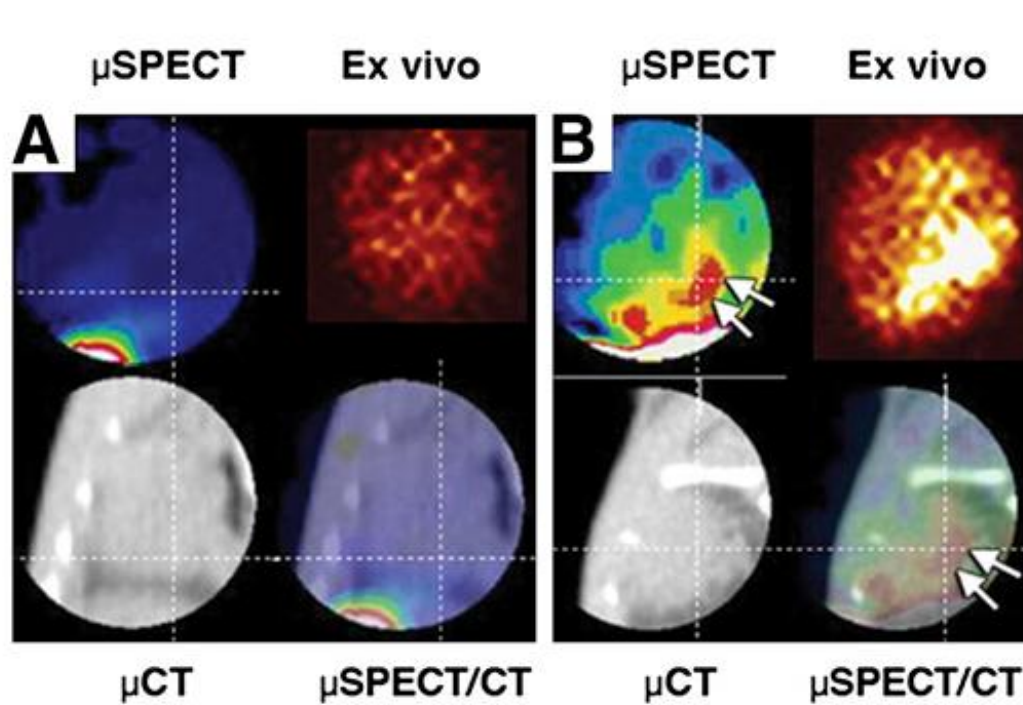
Sympatikus

- Podíl na rozvoji selhání pravé komory u PAH
 - Vysoká hladina katecholaminů při poruše jejich zpětného vychytávání
- Aktivitu možno měřit několika indikátory
 - Pro SPECT ^{123}I MIBG (meta jod benzyl guanidin)
 - Pro PET ^{11}C HED (meta hydroxy efedrin)
- Zobrazení pomocí ^{123}I -MIBG
 - Prokázaný prognostický význam
 - Včasná detekce před klinickou manifestací
 - Perfuzně-inervační mismatch
 - Arytmogenní, podíl na remodelaci u ICHS

System renin-angiotenzin-aldosteton (RAAS)

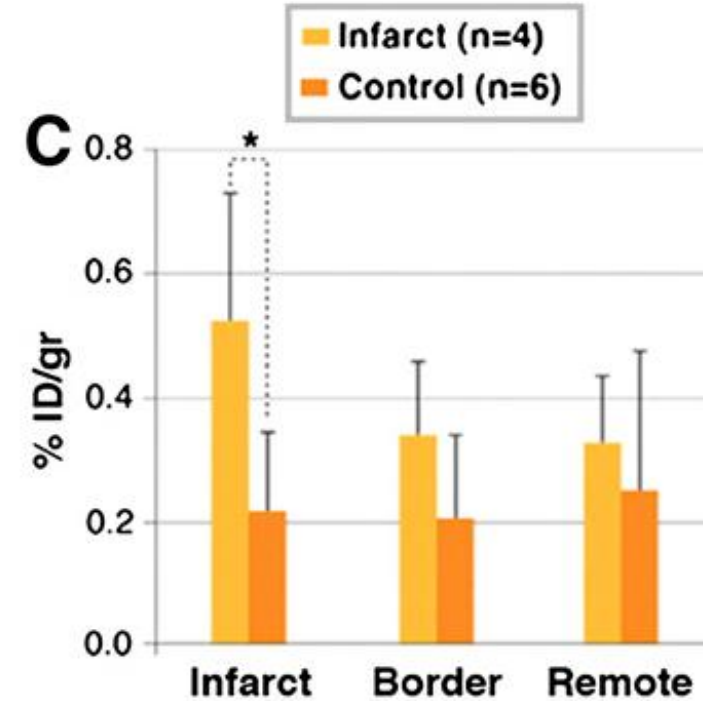
- Tkáňová hladina ACE a angiotensinových receptorů moduluje negativní účinek neurohumorální aktivace na myokard
- Podílí se na hypertrofii a fibróze
 - Stimuluje fibroblasty a hromadění kolagenu
- AT1 receptor
 - Zvýšená tvorba ROS (oxidační stres)
- Zvýšená retence sodíku a periferní vasokonstrikce
 - Další mechanická zátěž myokardu

Zobrazení a ex vivo kvantifikace AT1 receptorů



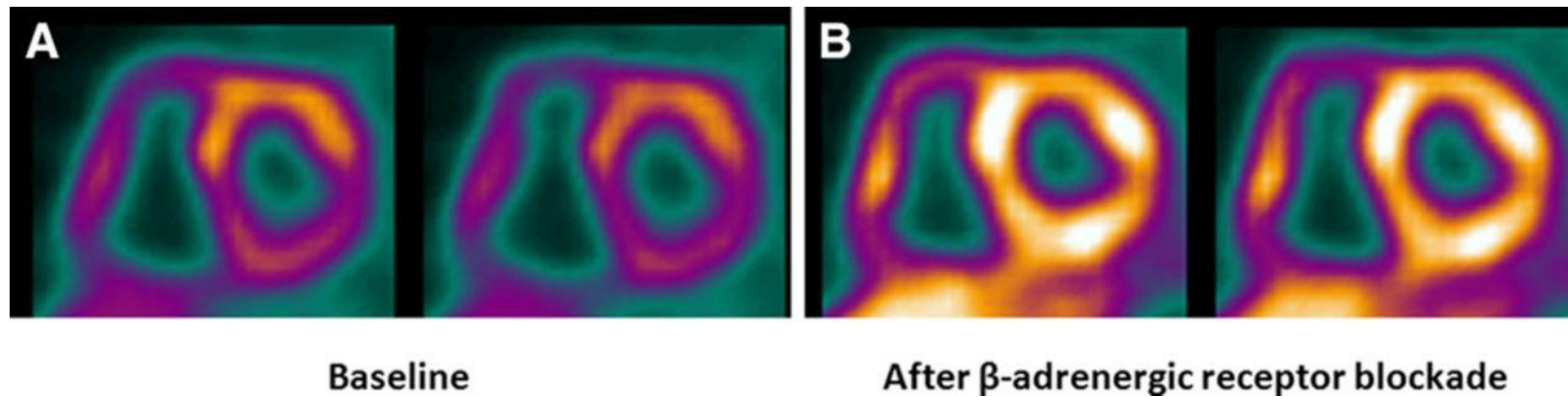
kontrola

3 týdny po IM



Short-axis images obtained by positron emission tomography–computed tomography in a patient with pulmonary arterial hypertension (PAH) before and after β -adrenergic blockade.

Normalizace retence ^{11}C HED u pacienta s PAH po 6měsíční léčbě bisoprololem (v obou komorách)



Anton Vonk Noordegraaf et al. *Circulation*. 2015;131:899-913

Scintigrafické metody

Apoptóza

Programovaná smrt buněk

- Podíl na rozvoji srdečního selhání
- Exprese fosfatidylserinu na vnější straně buněčné membrány
 - Signál pro makrofágy k odstranění buňky
- Vhodným indikátorem této exprese je ^{99}mTc značený annexin
- Zvýšená exprese prokázána u selhávající levé komory a u rejekce transplantátu
- Zvýšená exprese prokázána u PH na zvířecích modelech
 - U pacientů dosud nebyla potvrzena

Scintigrafické metody Plicní parenchym

Scintigrafie plicní perfuze a ventilace

- Význam při podezření na chronickou tromboembolickou plicní hypertenzi (CTEPH)
- Perfuzní defekt velikost minimálně poloviny plicního segmentu, který přetrvává po nejméně 3měsíční efektivní antikoagulační léčbě
- Udávaná senzitivita 90 - 100 %, specificita 94 - 100 %
 - JACC Cardvasc Imaging 2010;3:1287-95
- Potenciální falešné nálezy
 - Pozitivní
 - Nesegmentární defekty u PAH
 - Plicní venookluzivní choroba (PVOD)
 - Negativní
 - Vymizení perfuzních defektů v terminální fázi CTEPH

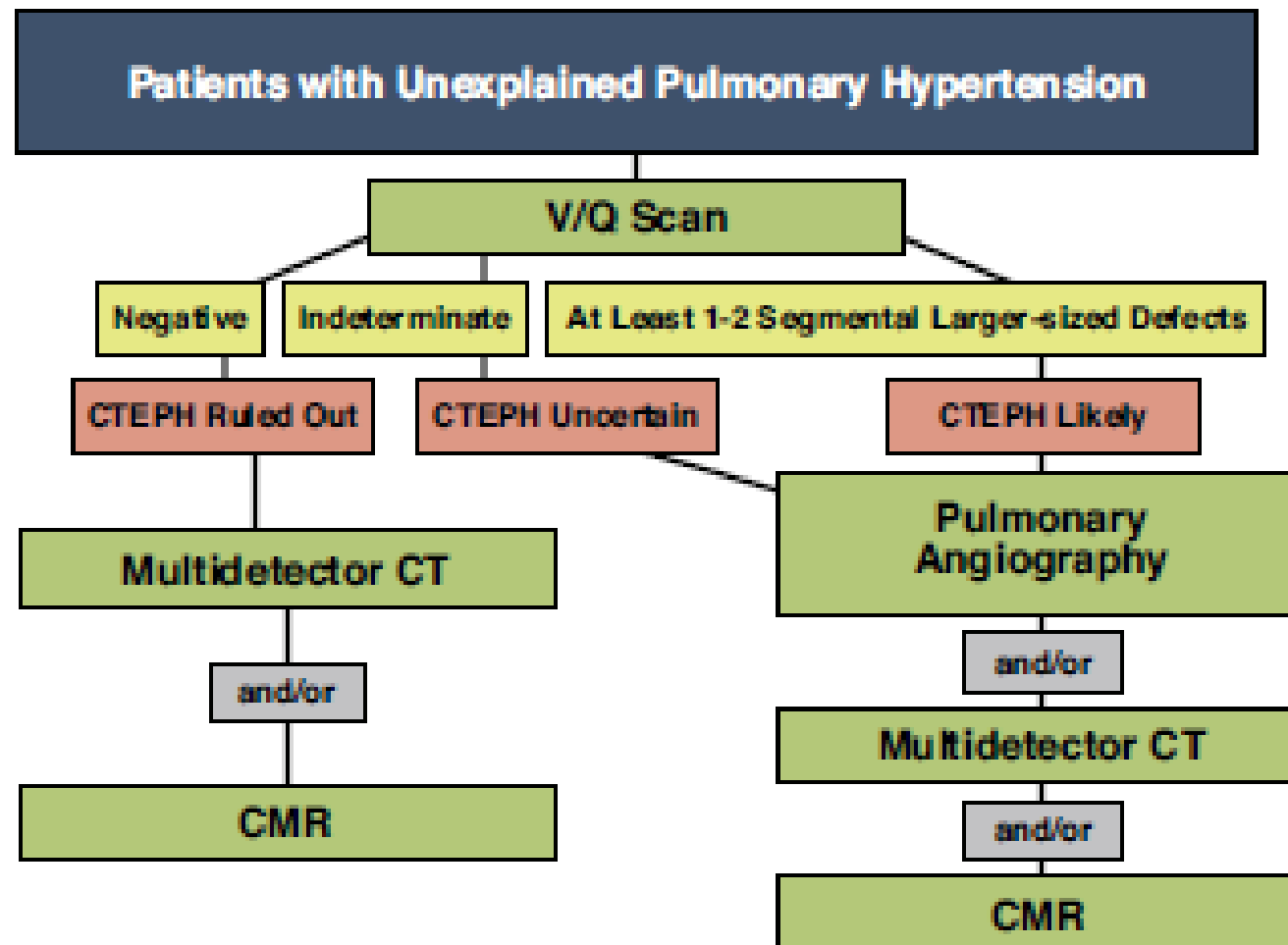
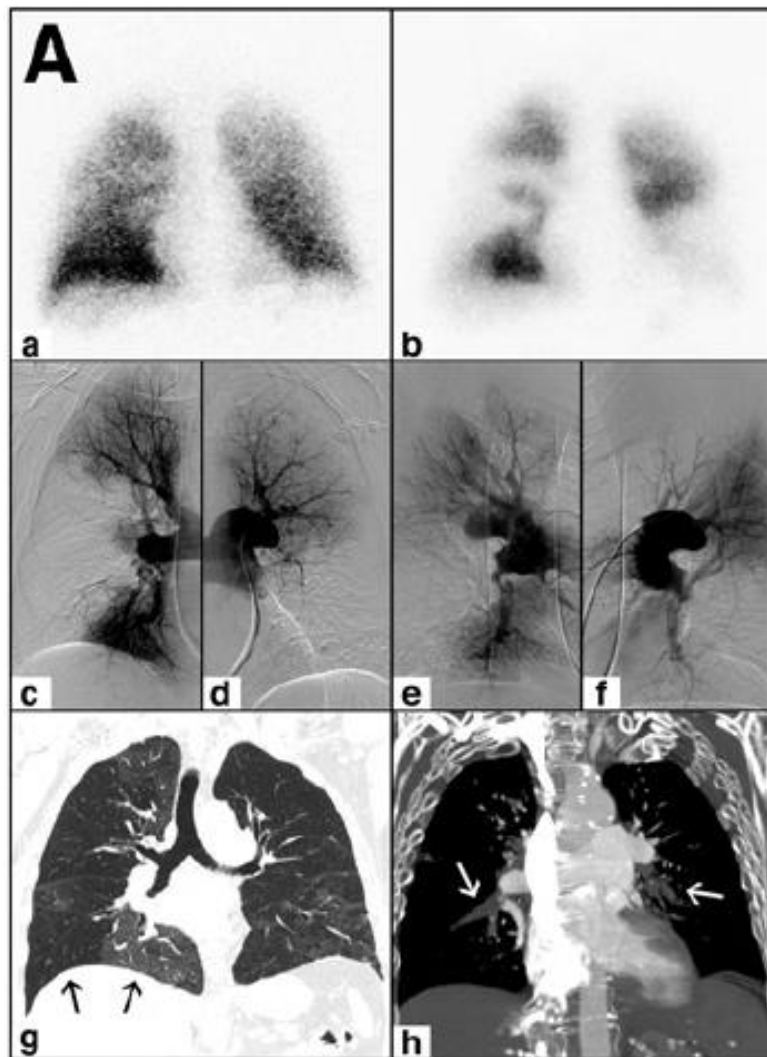
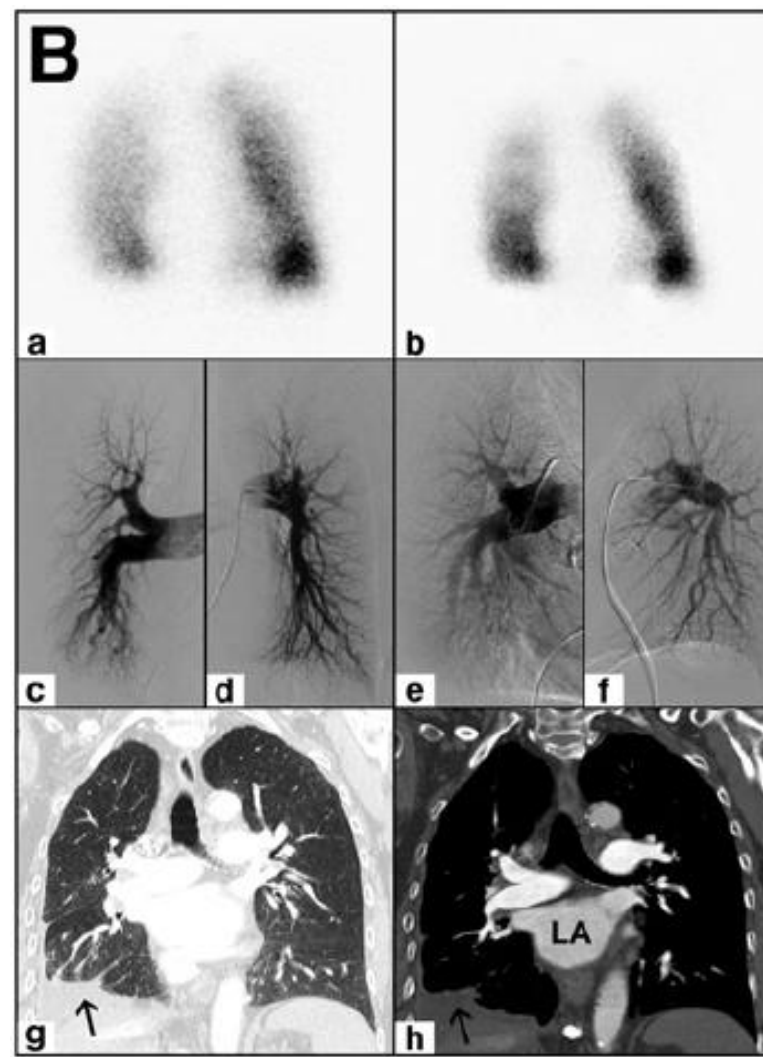


Figure 2. Contemporary Diagnostic Imaging Algorithm

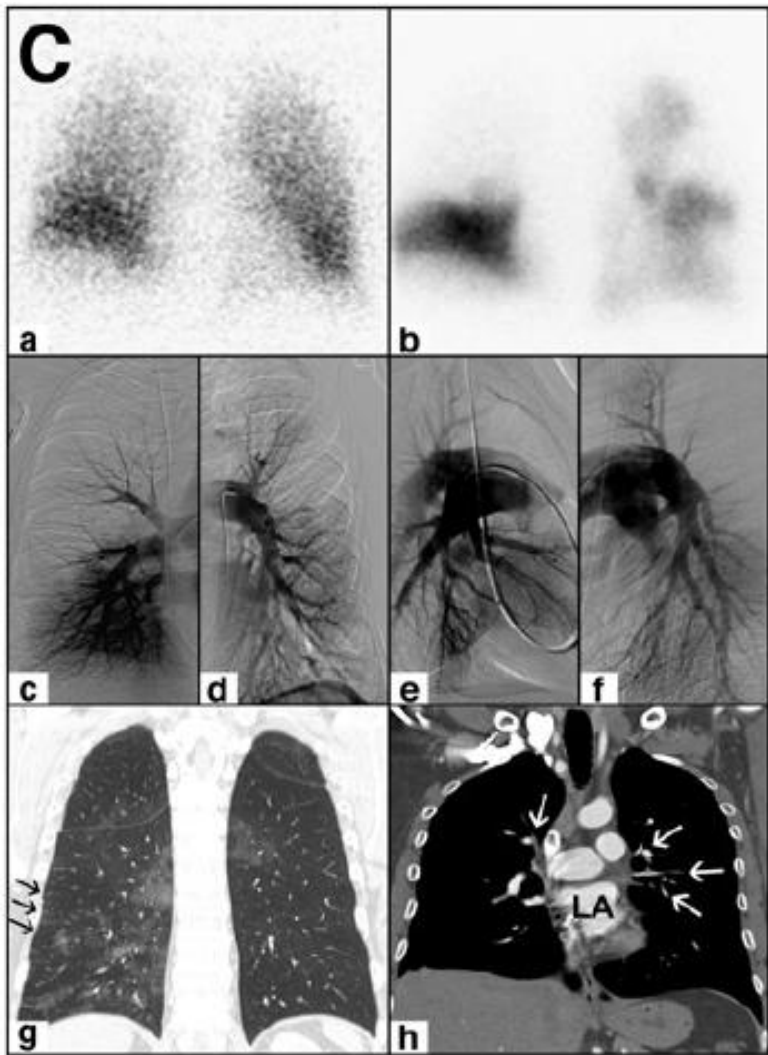
Radionuclide ventilation-perfusion scanning (V/Q) plays a key role in ruling out chronic thromboembolic pulmonary hypertension (44). Due to wider availability and more evidence, computed tomography (CT) has been ranked before cardiac magnetic resonance (CMR) (3). Center-specific use of imaging modalities may vary. CTEPH = chronic thromboembolic pulmonary hypertension.



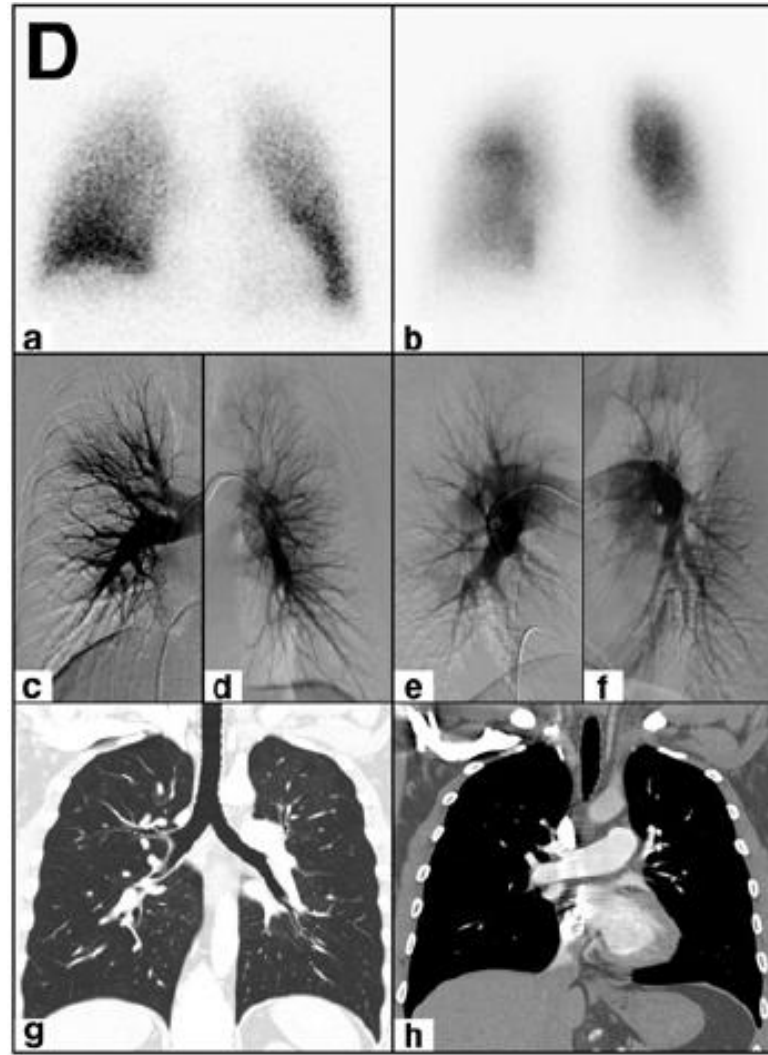
65letý pacient s CTEPH



78letá pacientka s COPD



52letý pacient s PVOD



47letý pacient s idiopatickou PAH

Intersticiální plicní procesy

- Především zánětlivé změny ev. s fibrózou
- Řada vhodných indikátorů
 - ^{18}F FDG, $^{99\text{m}}\text{Tc}$ MIBI, $^{99\text{m}}\text{Tc}$ IgG, ^{111}In oktreotid, ^{68}Ga DOTATOC
- Řada infekčních i neinfekčních zánětů
 - Bakteriální, mykobakteriální, plísňové, kolagenózy
- Granulomatozní procesy
 - Sarkoidóza
- Proliferativní procesy
 - Radiační pneumonitida, potransplantační lymfoproliferace, profesionální pneumokoniózy

Závěr

- Scintigrafie nabízí u pacientů se suspektní nebo prokázanou plicní hypertenzí řadu vyšetřovacích metod
- Jsou většinou snadno dostupné a neinvazivní, použitelné experimentálně i klinicky
- Pochopení patologických procesů vedoucích k rozvoji plicní hypertenze i principu distribuce různých indikátorů (radiofarmak) je pro jejich efektivní využití nezbytné
- Spolupráce všech profesí zainteresovaných na péči o tyto pacienty je žádoucí

Děkuji za pozornost

